

การออกแบบอิเล็กโทรดแซมเบอร์ขนาดเล็กสำหรับการพาสเจอร์ไรซ์พัฒนาต่อ

Design of Small Chamber Electrode for Low-Energy Pasteurization

นิติพงศ์ ปานกลาง และ กฤชณ์ชันม์ ภูมิกิตติพิชญ์

ภาควิชาวิศวกรรมไฟฟ้า คณะวิศวกรรมศาสตร์ มหาวิทยาลัยเทคโนโลยีราชมงคลรัตนบุรี จ.ปทุมธานี 12110

โทรศัพท์ 0-2549-3420 โทรสาร 0-2549-3422 E-mail: p.nitipong@gmail.com

บทคัดย่อ

บทความนี้ นำเสนอการออกแบบและพัฒนาอิเล็กโทรดแซมเบอร์ขนาดเล็กสำหรับใช้ในการพาสเจอร์ไรซ์อาหารเหลวด้วยสนามไฟฟ้าแบบพัลส์ อิเล็กโทรดแซมเบอร์ที่พัฒนาขึ้นเป็นแบบสนามไฟฟ้าร่วมและ亥ม่าสมกับการพาสเจอร์ไรซ์แบบกระบวนการต่อเนื่อง อิเล็กโทรดแซมเบอร์มีแซมเบอร์สำหรับสร้างสนามไฟฟ้าบริเวณ PEF Zone ในลักษณะทรงกระบอกรัศมีเท่ากับ 5 mm และมีปริมาตรเท่ากับ 785 mm³ การสร้างสนามไฟฟ้าแบบพัลส์ที่ระดับแรงดัน V₀ เท่ากับ 30kV และความกว้างของพัลส์เท่ากับ 1.5μs ต้องใช้กำลังไฟฟ้าเท่ากับ 0.15W/mL หรือคิดเป็นพลังงานไฟฟ้า 0.225×10^{-6} J/mL เมื่อตัวกลางของเหลวมีความนำไฟฟ้า 0.3S/m การออกแบบได้ประยุกต์ใช้วิธีไฟฟ้าในอลิเมนต์ซ้ายในการวิเคราะห์ความเครียดสนามไฟฟ้าที่เกิดขึ้นภายในบริเวณ PEF Zone จากการวิเคราะห์พบว่า ความเครียดสนามไฟฟ้าจะแปรผันโดยตรงกับแรงดัน V₀ ที่จำเพาะกับอิเล็กโทรด โดยการเพิ่มแรงดัน V₀ ทำให้ความเครียดสนามไฟฟ้าบริเวณ PEF Zone เพิ่มขึ้นด้วย ทั้งนี้ ระดับแรงดัน V₀ ที่亥ม่าสมสำหรับการกำจัดเชื้อแบคทีเรียเอสเซอริเชียโคไล, แบคทีเรียสแตปฟิโลโคคัส ออร์เรียส, แบคทีเรียชูโอดไมโนแนส ฟลูออเรสเซนส์ และยีสต์แซคโคโรไมซิส ชีริวิสอี มีค่าเท่ากับ 30kV และความเครียดสนามไฟฟ้าบริเวณ PEF Zone มีค่ามากกว่า 1.2kV/mm ซึ่งมากกว่าสนามไฟฟ้าวิกฤติของเยื่อหุ้มเซลล์ของเชื้อแบคทีเรียและยีสต์ดังกล่าว

คำสำคัญ: อิเล็กโทรโพเรชั่น, ไฟฟ้าในอลิเมนต์, การพาสเจอร์ไรซ์

Abstract

This paper presents design and development of small electrode chamber for liquid food pasteurization by using pulse electric field. The developed electrode chamber is co-field type and suitable for continue pasteurization process. Electric field chamber for buildup electric field inside an electrode chamber at PEF Zone has radius and volume equal to 5mm and 785mm³ respectively. Power and energy was used to generate the electric field at PEF Zone about 0.15W/mL and 0.225×10^{-6} J/mL respectively, when the value of V₀ is 30kV and 1.5μs pulse width. The finite element method is used for electric-field strength analysis at PEF Zone - inner electrode chamber. From the analysis results show that, the electric-field strength was directly proportional to voltage V₀ of electrode. In order that, at 30kV of voltage V₀ can be used to

inactivate the E.coli, S.Aureus, P.Fluorescens and S.Cerevisiae. Electric field strength at PEF Zone was more than 1.2kV/mm that also was more than critical electric field of those bacteria and yeast membrane.

Keywords: Electroporation, Finite Element, Pasteurization

1. บทนำ

การกำจัดเชื้อจุลทรรศ์ในอาหารเหลว โดยใช้สนามไฟฟ้าแบบพัลส์[1,2]เป็นการกำจัดเชื้อจุลทรรศ์แบบไม่ใช้ความร้อน เชื้อจุลทรรศ์ในอาหารเหลวจะถูกทำลายด้วยความเครียดสนามไฟฟ้าทำให้เกิดการเบรกดาวน์ของเยื่อหุ้มเซลล์ ด้วยเหตุนี้ เรายังสามารถทำการพาสเจอร์ไรซ์อาหารเหลวได้ด้วยสนามไฟฟ้าแบบพัลส์ ซึ่งมีข้อดีคือ อาหารเหลวจะยังคงมีคุณค่าทางอาหาร รสชาติ สีของอาหารและกลิ่นไม่มีการเปลี่ยนแปลง รวมถึงエネิชั่นและวิตามินต่างๆ ที่เป็นประโยชน์ในอาหารไม่ได้ถูกทำลาย เนื่องจากความร้อน การพาสเจอร์ไรซ์อาหารเหลวด้วยสนามไฟฟ้าแบบพัลส์ อิเล็กโทรดแซมเบอร์เป็นอุปกรณ์สำคัญที่ใช้ในการสร้างสนามไฟฟ้า และยังเป็นจุดที่อาหารเหลวสัมผัสถักบันแรงดันไฟฟ้า จึงทำให้มีกระแสไฟฟ้าไหลผ่านอาหารเหลว ซึ่งอาจนำไปสู่การเกิดปฏิกิริยาการแยกสลายด้วยไฟฟ้า(Electrolysis) ได้

บทความนี้ นำเสนอการออกแบบอิเล็กโทรดแซมเบอร์ขนาดเล็กสำหรับการพาสเจอร์ไรซ์อาหารเหลวด้วยสนามไฟฟ้าแบบพัลส์ ซึ่งถือว่าเป็นการพาสเจอร์ไรซ์ที่ใช้พลังงานต่ำกว่าแบบใช้ความร้อน รวมถึงผู้เชี่ยวชาญได้ประยุกต์ใช้วิธีไฟฟ้าในอลิเมนต์กับการวิเคราะห์ความเครียดสนามไฟฟ้าที่เกิดขึ้นภายในอิเล็กโทรดแซมเบอร์ เพื่อถูกง่ายต่อการกำจัดเชื้อจุลทรรศ์หรือไม่

2. การกำจัดเชื้อจุลทรรศ์ด้วยสนามไฟฟ้า

การกำจัดเชื้อจุลทรรศ์และแบคทีเรียที่เป็นอันตรายที่อยู่ในอาหารเหลว อาทิเช่น ซาลโมเนลลา(Salmonella), เอสเซอริเชีย โคไล (Escherichia Coli, E.Coli) ฯลฯ ด้วยกระบวนการพาสเจอร์ไรซ์หรือการสเตอโรไรซ์จำเป็นต้องอาศัยความร้อนที่อุณหภูมิสูง ความร้อนดังกล่าว นอกจากจะทำลายเชื้อจุลทรรศ์แล้ว ยังอาจมีผลต่อคุณค่าทางโภชนาการของอาหาร ทำให้รสชาติ สี กลิ่นเปลี่ยนแปลง และวิตามินถูกทำลาย การกำจัดเชื้อจุลทรรศ์ด้วยสนามไฟฟ้าเป็นวิธีการพาสเจอร์ไรซ์อาหารเหลวโดยที่ไม่ใช้ความร้อน โดยอาศัยกระบวนการอิเล็กโทรโพเรชั่น(Electroporation)[3] ซึ่งเป็นกระบวนการทำลายเยื่อหุ้มเซลล์(Cell Membrane) โดยการเพิ่มค่าความนำไฟฟ้า (Electrical Conductivity) และค่าสภาพย้อม(Permeability) ของเยื่อหุ้มเซลล์ การ

เพิ่มค่าความนำไฟฟ้าและค่าสภาพย้อมทำโดยการใช้สนามไฟฟ้าที่มีความเข้มสูงและมีลักษณะเป็นพัลล์ พัลล์สนามไฟฟ้าที่มีความเข้มสูงนี้ จะส่งผลทำให้แรงดันไฟฟ้า(Electric Potential) ที่ตอกคร่อมเยื่อหุ้มเซลล์มีค่าสูงเกินกว่าค่าความคงทนไดอิเล็กติก (Dielectric Strength) ของเยื่อหุ้มเซลล์และทำให้เกิดรูพรุน(Pores) เล็กๆ จำนวนมากขึ้นที่เยื่อหุ้มเซลล์ รูพรุนดังกล่าวจะนำไปสู่กระบวนการตายของเซลล์(Programmed Cell Death)

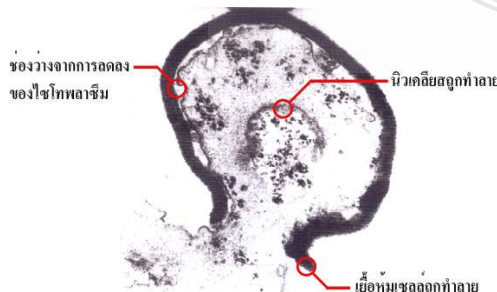
เมื่อยื่อหุ้มเซลล์เกิดรูพรุน จะทำให้เกิดการถ่ายเทระหว่างของเหลวภายนอกเซลล์กับไซโทพลาซึม(Cytoplasm) ซึ่งเป็นของเหลวภายในเซลล์ ทำให้เซลล์เกิดการขยายตัวเพิ่มขึ้นและนำไปสู่การเบรกดาวน์ของเยื่อหุ้มเซลล์ในที่สุด รูปที่ 1 แสดงลักษณะการเบรกดาวน์ของเยื่อหุ้มเซลล์ของยีสต์แซคคาราโไมซิส ซีเรวิสิเอ(Saccharomyces Cerevisiae, S.Cerevisiae) เมื่อจากพัลล์สนามไฟฟ้า 40kV/cm จำนวนพัลล์ส์เท่ากับ 64 พัลล์

รูพรุนที่เกิดขึ้นบริเวณเยื่อหุ้มเซลล์ต้องเป็นแบบไออกโตรไฟบิก และมีขนาดใหญ่พอที่จะนำไปสู่การตายของเซลล์ โดยปกติรูพรุนจะมีขนาดประมาณ 1 - 3 nm และเกิดครอบคลุมพื้นที่ประมาณ 0.01 - 0.1% ของพื้นที่เยื่อหุ้มเซลล์ทั้งหมด เอื้อหุ้มเซลล์ของเชื้อจุลชีพจะมีลักษณะเป็นชั้นหนา(Insulator) ที่ห่อหุ้มไซโทพลาซึมไว้ภายใน ซึ่งไซโทพลาซึมเป็นตัวนำไฟฟ้าและมีความนำไฟฟ้า (Electrical Conductivity) มากกว่าเยื่อหุ้มเซลล์ประมาณ 6 - 8 เท่า[4] ด้วยเหตุนี้ บริเวณเยื่อหุ้มเซลล์จึงสามารถพิจารณาในรูปของตัวเก็บประจุที่คั่นด้วยชั้นหนาที่มีค่าคงตัวของไดอิเล็กติก(Dielectric Constant, ϵ_r) เมื่อเซลล์ของเชื้อจุลชีพที่อยู่ในอาหารเหลวได้รับสนามไฟฟ้าจากภายนอกจะทำให้เกิดการเรียงตัวของประจุตามทิศทางของสนามไฟฟ้าบริเวณผนังของเยื่อหุ้มเซลล์ ดังแสดงในรูปที่ 2 ประจุดังกล่าวทำให้เกิดแรงดันไฟฟ้าตอกคร่อมเยื่อหุ้มเซลล์และแรงทางกลในรูปของความเค้นทางไฟฟ้า (Electromechanical Stress) ขึ้น

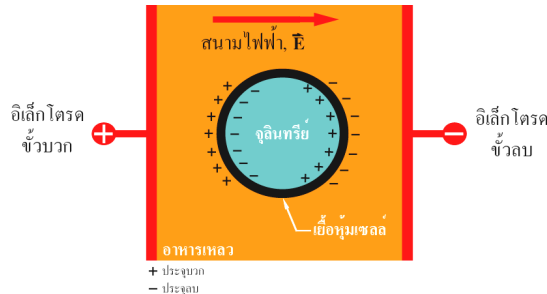
แรงดันไฟฟ้าตอกคร่อมเยื่อหุ้มเซลล์สามารถคำนวณได้จากสมการ[5]

$$U_c = f a_0 E_c \quad (1)$$

เมื่อ U_c คือแรงดันไฟฟ้าสูงสุดที่ตอกคร่อมเยื่อหุ้มเซลล์, f คือค่าคงที่ซึ่งขึ้นอยู่กับรูปร่างของเซลล์, a_0 คือรัศมีวงนอกสุดของเซลล์และ E_c คือความเครียดสนามไฟฟ้าิกวักดู



รูปที่ 1 เยื่อหุ้มเซลล์ของยีสต์แซคคาราโไมซิส ซีเรวิสิเอที่เกิดการเบรกดาวน์(กระบวนการเน็คตอสติส) เมื่อจากพัลล์สนามไฟฟ้า[6]

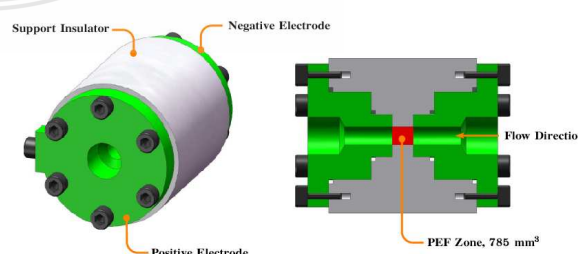


รูปที่ 2 ประจุไฟฟ้าที่สะสมบริเวณเยื่อหุ้มเซลล์

3. การออกแบบอิเล็กโทรดแม่เหล็ก

อิเล็กโทรดแม่เหล็กเป็นอุปกรณ์สำหรับสร้างสนามไฟฟ้าในการกำจัดเชื้อจุลทรรศน์ในอาหารเหลว อิเล็กโทรดแม่เหล็กประกอบด้วยอิเล็กโทรดขั้วบวกและขั้วลบที่ถูกยึดติดอยู่บนชั้นวน โดยให้มีระยะห่างระหว่างอิเล็กโทรดทั้งสอง อาหารเหลวที่เราต้องการพาสเจอร์เรชจะถูกส่งผ่านช่องว่างระหว่างอิเล็กโทรด ในขณะที่เราจ่ายแรงดันให้กับอิเล็กโทรด อิเล็กโทรดแม่เหล็กแบ่งออกเป็น 3 ชนิดได้แก่ อิเล็กโทรดแม่เหล็กแบบกลุ่ม (Batch Chamber), อิเล็กโทรดแม่เหล็กแบบสนามไฟฟ้าตัดขวาง (Cross-Field Chamber) และอิเล็กโทรดแม่เหล็กแบบสนามไฟฟ้าร่วม (Co-Field Chamber)

อิเล็กโทรดแม่เหล็กแต่ละแบบมีคุณสมบัติและลักษณะของสนามไฟฟ้าที่แตกต่างกัน งานวิจัยนี้ ทำการออกแบบและพัฒนาอิเล็กโทรดแม่เหล็กแบบสนามไฟฟ้าร่วม โดยประยุกต์ใช้โปรแกรมคอมพิวเตอร์ช่วยในการออกแบบและสร้างแบบจำลอง 3 มิติ วัสดุที่เลือกมาทำชั้นวนและอิเล็กโทรดได้แก่ โพลีเอไมด์(Polyamide) และเหล็กกล้าไร้สนิมเกรด 316 (Stainless Steel, SUS316L) ตามลำดับ แบบจำลอง 3 มิติของอิเล็กโทรดแม่เหล็กจะถูกตัดรูปที่ 3 อิเล็กโทรดแม่เหล็กประกอบด้วยอิเล็กโทรดขั้วบวก(Positive Electrode) และอิเล็กโทรดขั้влบ(Negative Electrode) ที่ถูกยึดติดกับชั้นวนโพลีเอไมด์ ภายในชั้นวนมีช่องว่างหรือช่องแคบขนาดเล็กที่กว้าง 5 mm และมีปริมาตรเท่ากับ 785 mm^3 ซึ่งเป็นส่วนที่ใช้สร้างสนามไฟฟ้าเพื่อกำจัดเชื้อจุลทรรศน์หรือเรียกว่า PEF Zone รูปที่ 4 แสดงลักษณะของอิเล็กโทรดแม่เหล็กแบบสนามไฟฟ้าร่วมที่พัฒนาเสร็จเรียบร้อยแล้ว ข้อจำกัดอย่างหนึ่งของอิเล็กโทรดแม่เหล็กแบบสนามไฟฟ้าร่วม คือ สนามไฟฟ้าภายในอิเล็กโทรดแม่เหล็กบริเวณ PEF Zone จะค่อนข้างไม่สม่ำเสมอ แต่มีความเหมาะสมกับการกำจัดเชื้อจุลชีพแบบกระบวนการต่อเนื่อง



รูปที่ 3 แบบจำลอง 3 มิติของอิเล็กโทรดแม่เหล็กแบบสนามไฟฟ้าร่วม



รูปที่ 4 อิเล็กโทรดแซมเบอร์แบบสนามไฟฟ้าร่วม

อาหารเหลวที่ไหลผ่านอิเล็กโทรดแซมเบอร์จะได้รับสนามไฟฟ้าที่เกิดขึ้นระหว่างอิเล็กโทรดขั้วบวกและขั้วลบบริเวณ PEF Zone รวมถึงมีกระแสไฟฟ้าบางส่วนไหลผ่านอาหารเหลว อิมพิแดนซ์ของอาหารเหลวบริเวณ PEF Zone สามารถคำนวณได้จากสมการ

$$Z = \frac{(L + 0.254D)}{\frac{1}{4}\sigma\pi D^2} \quad (2)$$

เมื่อ Z คือ อิมพิแดนซ์ของตัวกลางของเหลวบริเวณ PEF Zone (Ω/m^2), L คือระยะห่างระหว่างอิเล็กโทรดบริเวณ PEF Zone(m), D คือเส้นผ่าศูนย์กลางภายในบริเวณ PEF Zone(m) และ σ คือค่าความนำไฟฟ้าของตัวกลางของเหลว(S/m)

การสร้างสนามไฟฟ้าภายในอิเล็กโทรดแซมเบอร์บริเวณ PEF Zone ทำโดยการจ่ายแรงดันที่มีลักษณะเป็นพลัสด์ให้กับอิเล็กโทรดแซมเบอร์ เมื่อเราไม่คำนึงถึงอัตราการไหลของตัวกลางของเหลวที่ไหลผ่าน PEF Zone กำลังไฟฟ้าที่ใช้ในการสร้างสนามไฟฟ้าต่อพลัสด์แรงดันหนึ่งรูปคลื่นสามารถคำนวณได้จากสมการ

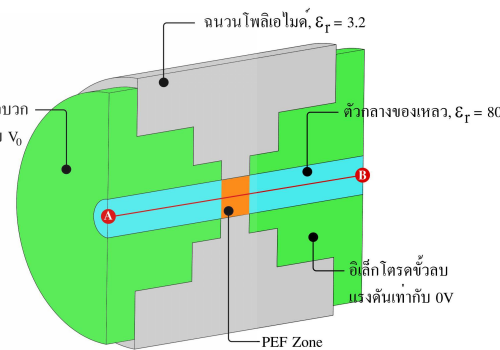
$$P_{pulse} = \sigma E^2 V_{CH} \quad (3)$$

เมื่อ P_{pulse} คือกำลังไฟฟ้าที่ใช้ในการสร้างสนามไฟฟ้าต่อพลัสด์หนึ่งลูก (W), σ คือความนำไฟฟ้าของตัวกลางของเหลว(S/m), E คือ ความเครียดสนามไฟฟ้า(V/m) และ V_{CH} คือปริมาตรของอิเล็กโทรดแซมเบอร์บริเวณ PEF Zone (m^3)

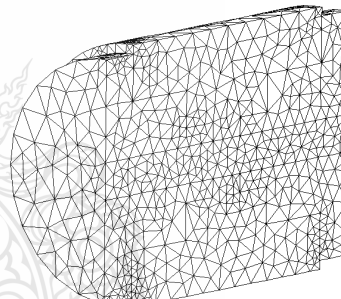
4. การวิเคราะห์ผลด้วยคอมพิวเตอร์

จากอิเล็กโทรดแซมเบอร์ที่ได้ออกแบบและพัฒนา ผู้เขียนได้สร้างแบบจำลอง 3 มิติที่มีลักษณะผ่าครึ่งเพื่อให้เห็นถึงภายในบริเวณ PEF Zone เนื่องจากอิเล็กโทรดแซมเบอร์มีลักษณะสมมาตรรอบแกนหมุน แบบจำลองประกอบด้วยอิเล็กโทรดขั้วบวกมีแรงดันไฟฟ้าเท่ากับ V_0 อิเล็กโทรดขั้วลบมีแรงดันไฟฟ้าเท่ากับศูนย์โวลต์ จำนวนโพลิเอไนด์ที่รองรับอิเล็กโทรดทั้งสองมีค่าคงที่ได้อิเล็กตริก(Dielectric Constant) เท่ากับ 3.2[7] ตัวกลางของเหลวภายในอิเล็กโทรดแซมเบอร์กำหนดให้มีค่าคงที่ได้อิเล็กตริกเท่ากับ 80 แบบจำลองจะละเอียดส่วนที่เป็นโอลิ่งและบริเวณนื้อตื้นอิเล็กโทรดขั้วบวกและลง การคำนวณไม่คิดประจุค้าง (ρ_0) ที่เกิดขึ้นบริเวณตัวนำและฉนวน องค์ประกอบอย่างๆ ของแบบจำลองที่ใช้ในการวิเคราะห์ความเครียดสนามไฟฟ้าแสดงดังรูปที่ 5

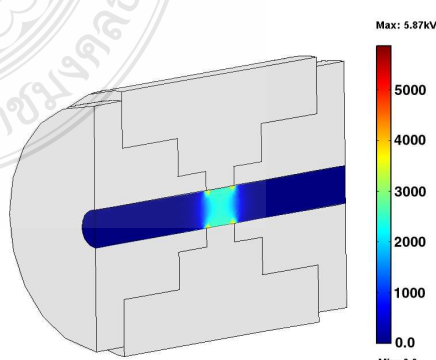
การวิเคราะห์สนามไฟฟ้าใช้วิธีไฟน์เอนิเมนต์[8] และกำหนดค่าความคลาดเคลื่อนยินยอม(Tolerance) ของผลเฉลยเท่ากับ 1×10^{-6} % การคำนวณแบบจำลองจะถูกแบ่งออกเป็นເອລີມັນຕໍສາມເຫຼືຍມຈຳນວນ 32,975 ເອລີມັນຕໍແລະນີໂໂທນດຈຳນວນ 7,042 ໂຫດດັ່ງແສດງໃນຢູ່ທີ່ 6 ເອລີມັນຕໍສາມເຫຼືຍມທີ່ໃຊ້ເປັນເອລີມັນຕໍກໍາລັງສອງລາກອງຈິ(Lagrange-Quadratic Element) ແລະກາກັບສຳກັນພື້ນຖານເກີດຕົກຄ້າງດໍາສຸດແບບວາງນັຍໜ້ວ່າໄປ(Generalized Minimal Residual Method, GMRES)



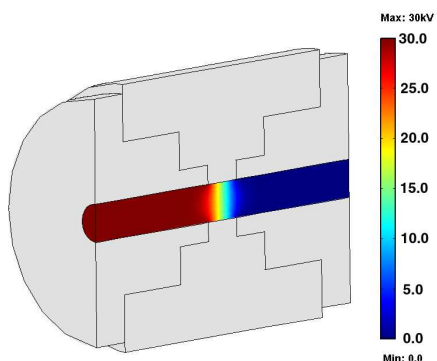
รูปที่ 5 แบบจำลองอิเล็กโทรดแซมเบอร์ 3 มิติ



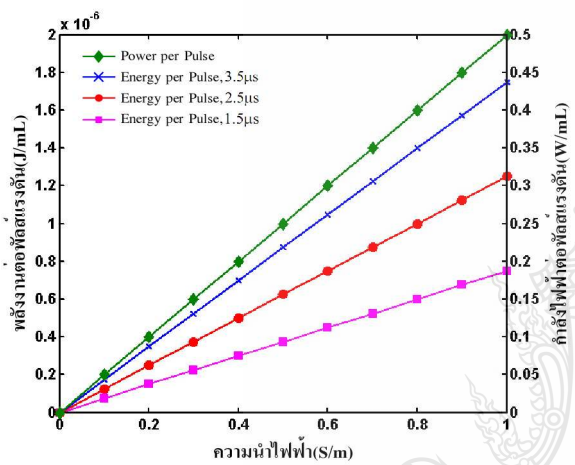
รูปที่ 6 การแบ่งพื้นที่ของแบบจำลองเป็นເອລີມັນຕໍສາມເຫຼືຍມ



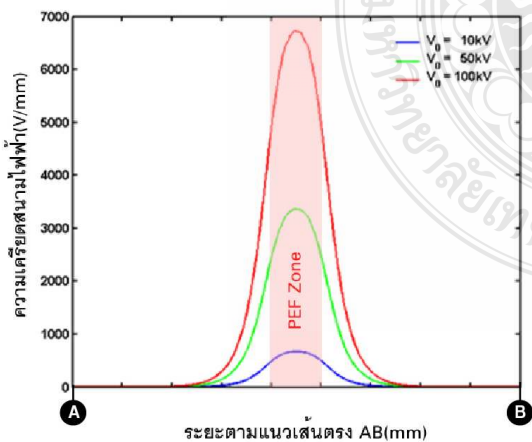
รูปที่ 7 ความเครียดสนามไฟฟ้าบริเวณภายในอิเล็กโทรดแซมเบอร์ที่ระดับแรงดัน V_0 เท่ากับ 30kV



รูปที่ 8 การกระจายตัวของศักย์ไฟฟ้าบริเวณภายในอิเล็กโทรด ชั้มเบอร์ที่ระดับแรงดัน V_0 เท่ากับ 30kV



รูปที่ 9 กำลังไฟฟ้าและพลังงานที่ใช้ในการสร้างสนามไฟฟ้าที่ค่าความนำไฟฟ้าของตัวกลางของเหลว $0.1 \leq \sigma \leq 1.0$



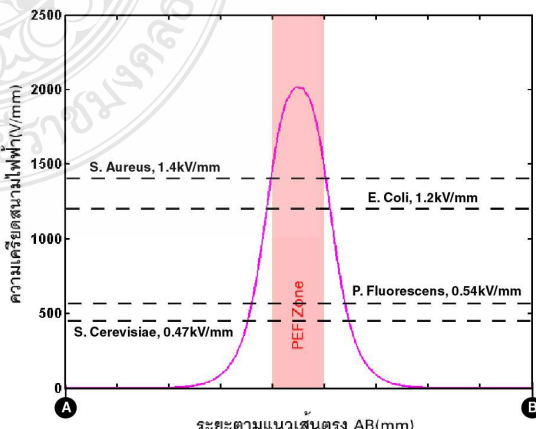
รูปที่ 10 ความเครียดสนามไฟฟ้าตามแนวเส้นตรง AB ที่ระดับแรงดัน 10kV, 50kV และ 100kV

รูปที่ 7 และรูปที่ 8 แสดงความเครียดสนามไฟฟ้าและการกระจายตัวของศักย์ไฟฟ้าที่เกิดขึ้นภายในอิเล็กโทรดชั้มเบอร์ เมื่อจ่ายแรงดัน V_0 เท่ากับ 30kV ความเครียดสนามไฟฟ้าสูงสุดจะเกิดขึ้นตรง

บริเวณรอยต่อระหว่างจำนวนโพลิเอไมด์กับอิเล็กโทรดชั้นบวกและชั้นลบ โดยมีค่าเท่ากับ 7.065kV/mm และตามแนวเส้นตรง AB ความเครียดสนามไฟฟ้าสูงสุดจะมีค่าประมาณ 2kV/mm จากสมการที่ (3) เมื่อเราจ่ายแรงดัน V_0 เท่ากับ 30kV ให้กับอิเล็กโทรดชั้มเบอร์ โดยกำหนดให้แรงดัน V_0 มีลักษณะเป็นพลั๊สสีเหลืองที่มีความกว้างเท่ากับ $1.5\mu\text{s}$ และตัวนำของเหลวมีความนำไฟฟ้าเท่ากับ 0.3S/m กำลังไฟฟ้าที่ใช้ในการสร้างสนามไฟฟ้าจะมีค่าเท่ากับ 0.15W/mL หรือคิดเป็นพลังงาน $0.225 \times 10^{-6}\text{J/mL}$ รูปที่ 9 แสดงค่ากำลังไฟฟ้าและพลังงานที่ใช้ในการสร้างสนามไฟฟ้าที่ค่าความนำไฟฟ้าของตัวกลางของเหลว $0.1 \leq \sigma \leq 1.0$ เมื่อกำหนด $E = 7.065\text{kV/mm}$ และพลั๊สแรงดัน V_0 มีความกว้างเท่ากับ $1.5\mu\text{s}$, $2.5\mu\text{s}$ และ $3.5\mu\text{s}$ ตามลำดับ

รูปที่ 10 แสดงความเครียดสนามไฟฟ้าตามแนวเส้นตรง AB ที่ระดับแรงดัน V_0 เท่ากับ 10kV, 50kV และ 100kV ความเครียดสนามไฟฟ้าที่เกิดขึ้นจะแปรผันโดยตรงกับแรงดัน V_0 โดยการเพิ่มแรงดัน V_0 ทำให้ความเครียดสนามไฟฟ้าบริเวณ PEF Zone เพิ่มขึ้นด้วย นอกจากนั้น ระดับแรงดัน V_0 ที่ค่าสูงกว่า ความเครียดสนามไฟฟ้ายังมีความสัมภัยมากกว่าเมื่อแรงดัน V_0 มีค่าต่ำๆ

การเลือกแรงดัน V_0 ที่เหมาะสมสำหรับการทำจัดเชื้ออุบลทรรศสามารถพิจารณาจากสนามไฟฟ้าวิกฤติของเยื่อหุ้มเซลล์(Critical Electric Field of Membrane) โดยเชือแบดที่เรียกอีสเซอร์เชียโคลี (E.Coli) มีสนามไฟฟ้าวิกฤติของเยื่อหุ้มเซลล์ประมาณ 1.2kV/mm [9] ดังนั้นแรงดัน V_0 ที่เหมาะสมสำหรับการทำจัดเชือแบดที่เรียกอีสเซอร์เชียโคลีได้ด้วยอิเล็กโทรดชั้มเบอร์ที่พัฒนาขึ้นเท่ากับ 30kV ซึ่งเป็นแรงดันที่ทำให้ความเครียดสนามไฟฟ้าบริเวณ PEF Zone ตามแนวเส้นตรง AB มีค่ามากกว่า 1.2kV/mm นอกจากนั้น ที่ระดับแรงดัน V_0 เท่ากับ 30kV ความเครียดสนามไฟฟ้าบริเวณ PEF Zone ตามแนวเส้นตรง AB ยังมีค่ามากกว่าสนามไฟฟ้าวิกฤติของเยื่อหุ้มเซลล์ของเชือแบดที่เรียกอีสแตบปิโลค็อกคัส ออเรียส(S.Aureus), แบดที่เรียกชูโดโนเคนส์ พลูอเรสเซนต์(P.Fluorescens) และยีสต์แซคโคโรไนซ์ ซีรีวิสอีซึส (S.Cerevisiae) ดังแสดงในรูปที่ 11



รูปที่ 11 ความเครียดสนามไฟฟ้าตามแนวเส้นตรง AB ที่ระดับแรงดัน 30kV

5. สรุป

งานวิจัยนี้ นำเสนอการออกแบบและพัฒนาอิเล็กโตรดแซมเบอร์ แบบสนามไฟฟ้าร่วมนาเดลิกที่สามารถนำไปใช้สำหรับการพยาສเจอร์เรซ อาหารเหลวด้วยสนามไฟฟ้าแบบพัลส์ อิเล็กโตรดแซมเบอร์ประกอบด้วยอิเล็กโตรดขั้บ vague (Positive Electrode) และอิเล็กโตรดขั้บลบ(Negative Electrode) ที่ทำการเหยียกกล้าไวน์สินมีเกรด 316 อิเล็กโตรด ทั้งสองจะถูกยึดติดกับบันวนโพลีเอไมด์ ที่ภายในบันวนมีช่องว่างหรือแซมเบอร์ทรงกระบอกสามมิติเท่ากับ 5 mm และมีปริมาตรเท่ากับ 785 mm³ การออกแบบได้ประยุกต์ไวร์ชิไฟในอิเลมเม้นท์ช่วยในการวิเคราะห์ความเครียดสนามไฟฟ้าที่เกิดขึ้นภายในบริเวณ PEF Zone จากการวิเคราะห์พบว่า ความเครียดสนามไฟฟ้าจะแพร่ผ่านโดยตรงกับแรงดัน V₀ ที่จ่ายให้กับอิเล็กโตรด โดยการเพิ่มแรงดัน V₀ ทำให้ความเครียดสนามไฟฟ้าบริเวณ PEF Zone เพิ่มขึ้นด้วย ระดับแรงดัน V₀ ที่เหมาะสมสำหรับการทำจัดเชื้อแบบที่เรียกชื่อวิธีโคไล, แบคทีเรียสแตปพิโลโคคัส ออเรียส, แบคทีเรียชูโอดโมเนส พลูออร์เซนส์ และบีสต์แซคโคโกรามิซิส ชีร์วิติอี มีค่าเท่ากับ 30kV ซึ่งเป็นแรงดันที่ทำให้ความเครียดสนามไฟฟ้าบริเวณ PEF Zone มีค่ามากกว่าสนามไฟฟ้าบริเวณเดลล์ของเชื้อแบคทีเรียและบีสต์ดังกล่าว

ในส่วนของกำลังไฟฟ้าและพลังงานที่ใช้ในการสร้างสนามไฟฟ้าแบบพัลส์เพื่อกำจัดเชื้อจุลินทรีย์แพร่ผ่านตรงกับความนำไฟฟ้าของตัวกลางของเหลวและความกาว้างของพัลส์แรงดัน V₀ ที่จ่ายให้กับอิเล็กโตรดแซมเบอร์ โดยที่ระดับแรงดัน V₀ เท่ากับ 30kV และลักษณะแรงดัน V₀ เป็นพัลส์สี่เหลี่ยมที่มีความกาว้างเท่ากับ 1.5μs กำลังไฟฟ้าที่ใช้ในการสร้างสนามไฟฟ้าเพื่อกำจัดเชื้อจุลินทรีย์ในตัวกลางของเหลวที่มีความนำไฟฟ้า 0.3S/m จะมีค่าเท่ากับ 0.15W/mL หรือคิดเป็นพลังงานไฟฟ้า

$$0.225 \times 10^{-6} \text{ J/mL}$$

เอกสารอ้างอิง

- [1] Lelieveld H.L.M. and et al. (2007). Food Preservation by Pulse Electric Field: From Research to Application, Woodhead Publishing Limited, England.
- [2] นิติพงษ์ ปานกลาง และคณะ. "การศึกษาเบื้องต้นถึงการประยุกต์ใช้พัลส์สนามไฟฟ้าเพื่อการถนอมอาหารแบบประหยัดพลังงาน", การประชุมวิชาการเครือข่ายพลังงานแห่งประเทศไทยครั้งที่ 4, 14-16 พฤษภาคม 2551.
- [3] Electroporation. From : <http://en.wikipedia.org/wiki/Electroporation>.
- [4] Chen, W. and Lee, R. (1994). Altered ion channel conductance and ionic selectivity induced by large imposed membrane potential pulse. Biophysical Journal, 67: 603 - 612.
- [5] Schoenbach, K.H. and et al. (1997). The effect of pulsed electric field on biological cell: Experiment and application. IEEE Trans. Plasma Sci., 25: 284 - 292.
- [6] Barbosa-Canovas G.V. and et al. (1999). Preservation of Foods with Pulsed Electric Fields, Academic Press, California.
- [7] Robert, P. (1988). Electrical and Magnetic Properties of Materials, Artech House Inc., Massachusetts.
- [8] Reece, A.B.J. and Preston, T.W. (2000). Finite Element Methods in Electrical Power Engineering, Oxford, New York.
- [9] Grahl, T. and Markl, H. (1996). Killing of Microorganisms by Pulse Electric Fields. Appl. Microbiol. Biotechnol., 45: 148 - 157.

ผลการประหยัดพลังงานจากการพัฒนาเรือรดน้ำไฟฟ้าเปรียบเทียบกับใช้เครื่องยนต์ดีเซล

Energy Saving Result of Electric Water Boat Development to Compare with using Diesel Engine

ธีระพล เมืองขาว

ภาควิชาศึกษาและนวัตกรรมไฟฟ้า คณะศึกษาศาสตร์ มหาวิทยาลัยเทคโนโลยีราชมงคลชั้นนำ

39 ม.1 ต.คลองหก อ.เมือง จ.ปทุมธานี 12110 โทร. 0-2549-3567 โทรสาร 0-2549-3422 E-mail mk_theerapol@yahoo.com

บทคัดย่อ

บทความนี้นำเสนอการเปรียบเทียบผลการประหยัดพลังงานระหว่างเรือรดน้ำไฟฟ้าและเรือรดน้ำที่ใช้เครื่องยนต์ดีเซล เรือรดน้ำไฟฟ้าประกอบด้วย ตัวเรือที่ทำจากสแตนเลส แบตเตอรี่ บ้มน้ำ มอเตอร์ไฟฟ้ากระแสตรง ซึ่งถูกใช้เป็นตัวขับบ้มน้ำและความคุณทิศทางของเรือ กล่องควบคุม รีโมทและเซ็นเซอร์อัตโนมัติ สำหรับการทำงานของเรือรดน้ำ มีการทำงาน 2 โหมด คือ การควบคุมระยะไกลและการควบคุมแบบบัดโฉนด ผลการทดลองแสดงให้เห็นว่าเรือรดน้ำไฟฟ้าที่ใช้มอเตอร์ขนาด 2.5 H.P ประหยัดพลังงานมากกว่า เรือที่ใช้เครื่องยนต์ดีเซลที่มีขนาด 18 HP และ 7 HP (ประมาณ 50%) ที่ระยะเดียวกันและปริมาณน้ำเท่ากัน

คำสำคัญ: ประหยัดพลังงาน เชื่อมโยงอัตโนมัติ

Abstract

This paper presents the comparison of energy saving result between electric water boat and diesel engine water boat. An electric water boat are consists of boat which made from stainless steel, battery, water pump, dc motor which used as power source to drive water pump and control the direction of boat, control box, remote control and ultrasonic sensor. For the operation of boat, there are two modes of operation: remote control and automatic control. The experimental result show that electric water boat with dc motor size 2.5 H.P save more energy than diesel engine water boat with size 18 H.P and 7 H.P (by about 50%) at the same distance and same water volume.

Keywords: Energy Saving, Ultrasonic Sensor

1. บทนำ

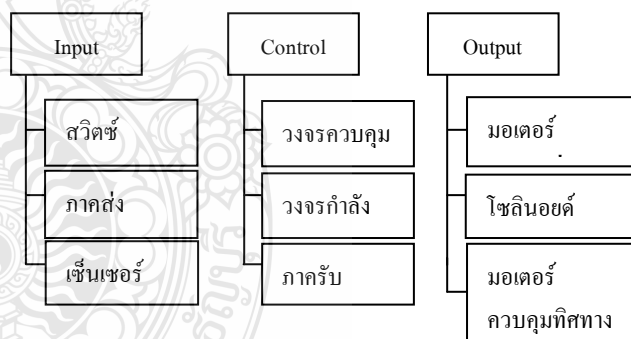
ในปัจจุบันความต้องการการใช้พลังงานน้ำมันมีแนวโน้มที่สูงขึ้น ทำให้น้ำมันมีราคาสูงขึ้นตามความต้องการ กลายเป็นภาระให้กับเกษตรกรที่ใช้น้ำมันเป็นเชื้อเพลิงในการสูบน้ำหรือปั๊มน้ำด้วยเครื่องยนต์ดีเซล ซึ่งการใช้น้ำมันเชื้อเพลิงในการรดน้ำไม่มี จึงทำให้ต้องทนแบก_rับภาระค่าใช้จ่ายที่สูงขึ้น ดังนั้นจึงต้องมีการใช้พลังงานไฟฟ้ามากด้วย

การใช้พลังงานน้ำมัน ก่อนหน้านี้ได้มีการพัฒนาเรือรดน้ำด้วยแบบอัตโนมัติ ซึ่งใช้แหล่งจ่ายจากแบตเตอรี่ผ่านอินเวอร์เตอร์เป็นไฟฟ้ากระแสสลับเพื่อจ่ายพลังงานให้กับมอเตอร์ [2]

การพัฒนาเรือรดน้ำไฟฟ้าควบคุมระยะไกลและอัตโนมัติ เป็นการพัฒนาการควบคุมแบบ 2 ระบบ คือ สามารถควบคุมการทำงานโดยใช้รีโมทและแบบอัตโนมัติ โดยใช้ไมโครคอนโทรลเลอร์ dsPIC 30F4011 เป็นตัวควบคุมการทำงาน รับคำสั่งจากรีโมทและอุปกรณ์เชื่อมต่อ เช่น การบันทึกเสียง ซ้าย ขวา การขับมอเตอร์ของบ้มน้ำ ซึ่งจะช่วยลดค่าน้ำที่ใช้จ่าย มีความสะดวกมากยิ่งขึ้น

2. การออกแบบและพัฒนา

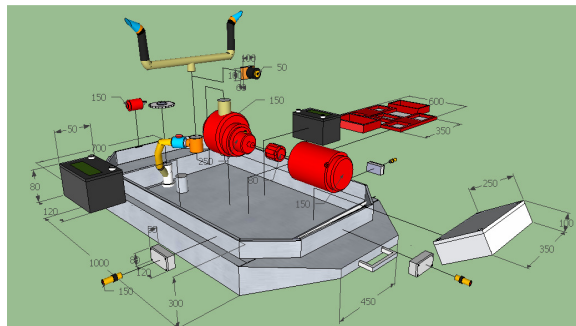
2.1 องค์ประกอบของเรือรดน้ำไฟฟ้า



รูปที่ 1 องค์ประกอบของเรือรดน้ำไฟฟ้า ประกอบด้วย

1. Input คืออุปกรณ์ที่ส่งสัญญาณไปยังส่วนควบคุม ประกอบด้วย สวิตช์ รีโมทคอนโทรล และเซ็นเซอร์
2. Control คือส่วนที่รับข้อมูลจากอินพุทแล้วส่งสัญญาณออกทางด้านเอาต์พุต
3. Output คือ ส่วนที่เป็นอุปกรณ์ขับเคลื่อนและทำงานทางกล ประกอบด้วย มอเตอร์บ้มน้ำ มอเตอร์ควบคุมทิศทาง และโซลินอยด์ใช้สำหรับเปิดปิดน้ำ

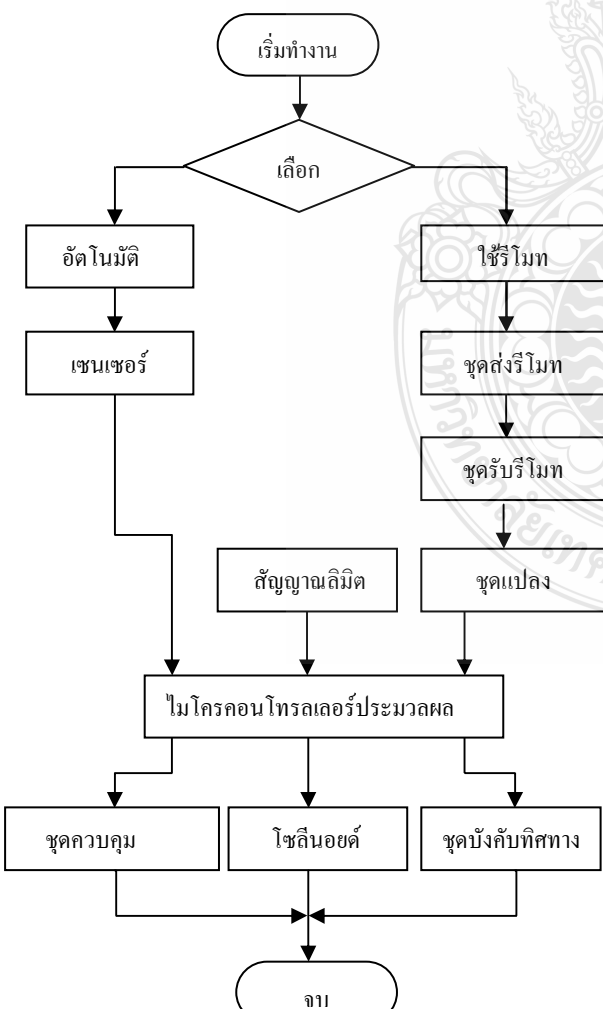
ขั้นตอนการประกอบของเรือรดน้ำไฟฟ้าได้แสดงดังรูปที่ 2



รูปที่ 2 องค์ประกอบของเรื่อคน้ำไฟฟ้า

2.2 การออกแบบระบบ

เริ่มต้นจากการทราบขนาดของปั๊มน้ำเพื่อให้เกิดความเหมาะสมกับปริมาณน้ำที่จะใช้ในการดูดประมาณ 90-120 ลิตร/นาที จึงออกแบบเลือกปั๊มที่ใช้มอเตอร์ขนาด 2.5 Hp แบบเดอร์บินาด 70 Ah 2 ลูก ตัวเรือทำด้วยสแตนเลส กว้าง 0.7 เมตร ยาว 1.2 เมตร สูง 0.3 เมตร การควบคุมการทำงานของเรือคน้ำไฟฟ้าสามารถเลือกการทำงานได้ 2 โหมด คือ แบบควบคุมด้วยมือหรือใช้รีโมท และแบบให้ทำงานเองโดยอัตโนมัติ แสดงดังรูปที่ 3



รูปที่ 3 แผนภาพการควบคุมของเรือคน้ำไฟฟ้า

หลักการทำงานจะใช้ไมโครคอนโทรลเลอร์ dsPIC 30F4011 [1] เป็นตัวประมวลผล รับสัญญาณจาก รีเซฟเวอร์ของตัวรับสัญญาณ ผ่านวงจรขึ้นลงของโซลาร์ไพล์โอตอร์ เป็นสัญญาณพัลส์ ช่วงเวลาและช่วงลับ ต่อ 1 CH หลังจากนั้นนำสัญญาณที่ได้มาต่อผ่านไฟฟ้าทรานซิสเตอร์ ซึ่งจะใช้ 2 ตัวในการตัดสัญญาณเชิงมากและเชิงน้อยต่อ 1 CH ซึ่งต้องใช้ห้องหมุด 4 CH ได้แก่ CH 1 เลี้ยวซ้าย-ขวา CH 2 เดินหน้า-ถอยหลัง CH 3 เปิด-ปิดโซลินอยด์ และ CH 4 ปรับความเร็วมอเตอร์ปั๊มน้ำ

แล้วนำสัญญาณที่ได้เข้าไปในไมโครคอนโทรลเลอร์ สัญญาณอินพุตอีกส่วนหนึ่ง จะได้อัตตราไฟนิคเซ็นเซอร์ที่ติดตั้งไว้ทางด้านหน้าและด้านข้างทั้งสองข้าง เพื่อตรวจจับขอบตั้ง และส่งสัญญาณเข้าไปในไมโครคอนโทรลเลอร์ เพื่อประมวลผล ใช้ Power MOSFET เมอร์ IRFP2907 เป็นตัวปรับความเร็วรอบมอเตอร์ โดยใช้สัญญาณ PWM ที่ duty cycle 3 ระดับเป็นสัญญาณทริกเกอร์ Power MOSFET [3]

2.3 การเก็บรวบรวมข้อมูลเรือคน้ำโดยใช้น้ำมันดีเซล

เรือคน้ำทำการเก็บรวบรวมข้อมูลเพื่อน้ำมันเบริญเทียนส่วนใหญ่ใช้น้ำมันดีเซล อาจจะด้วยเหตุผลทางเศรษฐศาสตร์ เมื่อเทียบกับน้ำมันเมนเชน ข้อมูลของเครื่องยนต์ที่ได้เก็บมาในน้ำด้วยก็ต้องมีเวลาที่ต้องใช้เวลาในการดูดซับน้ำมันดีเซล 7 และ 18 แรงม้า แน่นอนแรงน้ำมากย่อมให้อาหารพุดมาก แต่ในการเบริญเทียนจะพิจารณาบนฐานอ้างอิงเดียวทันทีที่หยอดประหลาด จากรูปที่ 4 แสดงเรือคน้ำไฟฟ้าที่ได้พัฒนาขึ้นมา รูปที่ 5 เรือคน้ำใช้เครื่องยนต์ดีเซลขนาด 7 แรงม้า และรูปที่ 8 เรือคน้ำใช้เครื่องยนต์ดีเซลขนาด 18 แรงม้า



รูปที่ 4 แสดงเรือคน้ำไฟฟ้า



รูปที่ 5 เรือคน้ำใช้เครื่องยนต์ดีเซลขนาด 7 แรงม้า



รูปที่ 6 เรือรดน้ำใช้เครื่องยนต์ดีเซลขนาด 18 แรงม้า

ทดลองเก็บข้อมูลอัตราการไหลดของน้ำในสถานที่จริง ของเรือที่ใช้เครื่องยนต์ดีเซลและเรือรดน้ำไฟฟ้า จะเห็นได้ว่า เครื่องยนต์ที่มีขนาดแรงม้าสูง ๆ จะให้อาดีพุ่หรือปริมาณน้ำที่ต้องการมากกว่าขนาดเด็ก แสดงค้างตารางที่ 1 ที่นี่ขึ้นอยู่กับพื้นที่ทางการเกษตรด้วยว่าต้องการปริมาณน้ำมากน้อยเพียงใด

ตารางที่ 1 ข้อมูลอัตราการไหลดของน้ำ ของเครื่องยนต์ดีเซล

อัตราการไหลดของน้ำเครื่องยนต์ดีเซล (ลิตร/นาที)			
ครั้งที่	เครื่องยนต์ 7 Hp	เครื่องยนต์ 18 Hp	มอเตอร์ไฟฟ้า
1	386	626	102
2	400	542	104
3	382	568	98
4	371	580	99.5
เฉลี่ย	385	580	101

ตารางที่ 2 ทดลองวัดระยะเวลาปริมาณน้ำและจับเวลากรณฑ์ใช้น้ำมัน 1 ลิตร

ระยะเวลา ปริมาณน้ำและจับเวลากรณฑ์ใช้น้ำมัน 1 ลิตร			
	ระยะเวลา (กิโลเมตร)	เวลา (นาที)	ปริมาณน้ำ (ลิตร)
7 Hp	3.2	50	19,230
18 Hp	2.6	35	20,118

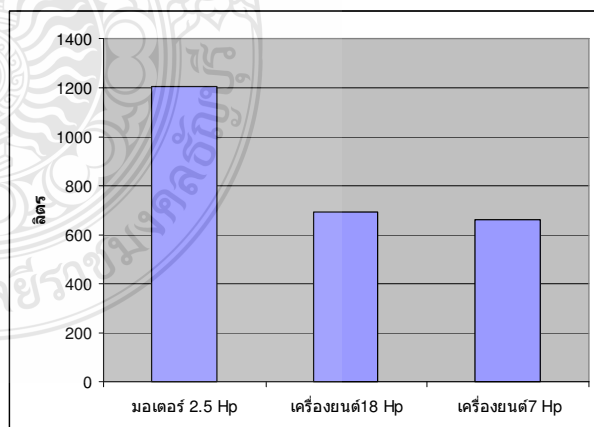
ตารางที่ 2 แสดงผลของการรดน้ำไปพร้อมกับการเคลื่อนที่ของเรือ ซึ่งได้วัดระยะเวลาและทำการจับเวลา ในกรณีที่ใช้น้ำมันดีเซล 1 ลิตร

3. การวิเคราะห์ผลประยุทธ์ที่ได้จากการใช้เรือรดน้ำไฟฟ้า

การคำนวณเพื่อเปรียบเทียบผลประยุทธ์ มอเตอร์ไฟฟ้า เป็นค่าใช้จ่ายที่เกิดจากการใช้พลังงาน 1.5 หน่วย คิดหน่วยละ 3.5 บาท ดังนี้ ครั้ง ใช้พลังงาน 6 ชั่วโมง ใช้พลังงาน 1.5 หน่วย คิดหน่วยละ 3.5 บาท ดังนี้ ครั้ง 1 ครั้ง เสียค่าใช้จ่ายเท่ากัน 5.25 บาท โดยใช้งานในการรดน้ำได้ประมาณ 1 ชั่วโมง สำหรับเครื่องยนต์ดีเซลขนาด 18 แรงม้า เสียค่าใช้จ่าย 49.71 บาท/ชั่วโมง และ เครื่องยนต์ดีเซลขนาด 7 แรงม้า เสียค่าใช้จ่าย 34.8 บาท/ชั่วโมง นอกจากนี้สามารถเปรียบเทียบ ปริมาณน้ำที่ได้ต่อค่าใช้จ่าย ลิตร/บาท แสดงดังตารางที่ 3 และแสดงเป็นกราฟแท่งเปรียบเทียบทั้ง 3 ประเภท ดังรูปที่ 7

ตารางที่ 3 เปรียบเทียบค่าใช้จ่ายกับปริมาณน้ำที่ได้

การ เปรียบเทียบ	ค่าใช้จ่ายการใช้พลังงาน		
	มอเตอร์ 2.5 Hp	เครื่องยนต์ 18 Hp	เครื่องยนต์ 7 Hp
ปริมาณน้ำ ลิตร/ชม.	6,206.4	34,488	23,076
ค่าใช้จ่าย บาท/ชม.	5.25	49.71	34.8
ปริมาณน้ำ ลิตร/บาท	1,205.83	693.72	663.10



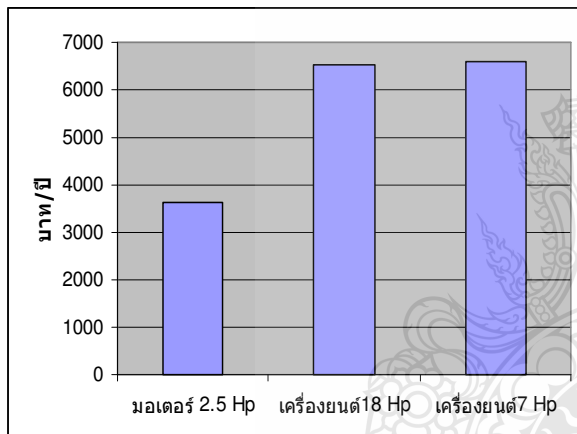
รูปที่ 7 เปรียบเทียบปริมาณน้ำต่อค่าใช้จ่าย(ลิตร/บาท)

ทดลองรดน้ำจริง ซึ่งขนาดของแปลงพืชทั้งหมดไม่จำนวน 7 ร่อง น้ำรวมระยะเวลา 1.4 กิโลเมตร ทำการรดน้ำทั้ง 2 ครั้ง คำนวณ ค่าใช้จ่ายต่อปีในการรดน้ำ โดยใช้ฐานในการคำนวณเดียว กัน คือปริมาณน้ำ

6,000 ลิตร/ครั้ง จากตารางที่ 4 จะเห็นได้ว่าการลดน้ำโดยใช้มอเตอร์ไฟฟ้าค่าใช้จ่ายต่อปีเท่ากับ 3,635.4 บาท สำหรับเครื่องยนต์ 18 Hp เท่ากับ 6,540.4 บาท และ เครื่องยนต์ 18 Hp เท่ากับ 6,602.8 บาท

ตารางที่ 4 เปรียบเทียบค่าใช้จ่ายกับปริมาณน้ำที่ได้

ค่าใช้จ่ายต่อระยะเวลา 1.4 กิโลเมตร (บาท)			
	มอเตอร์ 2.5Hp	เครื่องยนต์ 18 Hp	เครื่องยนต์ 7 Hp
ปริมาณน้ำ 6,000 ลิตร/ครั้ง	4.98	8.65	9.04
ค่าใช้จ่ายต่อวัน	9.96	17.29	18.08
ค่าใช้จ่ายต่อปี	3,635.4	6,540.4	6,602.8



รูปที่ 8 เปรียบเทียบปริมาณน้ำต่อค่าใช้จ่าย(ลิตร/บาท)

จากรูปที่ 8 แสดงผลการเปรียบเทียบค่าใช้จ่ายที่ปริมาณ เอาเด็พุต (น้ำ 6000 ลิตร) เท่า ๆ กัน เมื่อคิดต่อปี เวื่องค่าน้ำไฟฟ้าเฉย ค่าใช้จ่ายใน้านพลังงานถูกกว่าประมาณเทือน 50 % ของเครื่องยนต์ ดีเซล และจะเห็นได้ว่าเครื่องยนต์ดีเซลทั้ง 2 ขนาด เมื่อกำหนดค่าใช้จ่ายต่อปีแล้วมีค่าใช้จ่ายที่ใกล้เคียงกันมาก

4. สรุป

บทความนี้ได้นำเสนอการพัฒนาเวื่องค่าน้ำไฟฟ้าสามารถทำงานได้ 2 โหมด คือแบบควบคุมด้วยรีโมต ไวร์ลียและแบบทำงานเอง โดยอัตโนมัติ ซึ่งสามารถทำงานได้ตามที่ออกแบบไว้ การทำงานแบบ อัตโนมัติจะใช้อัลตราโซนิกเชื่อมเขื่อนเรือเป็นอุปกรณ์ตรวจสอบเพื่อควบคุม การเคลื่อนที่ของเรือ ล่วงการควบคุมโดยรีโมต ใช้กลไกความถี่วิทยุ

เพื่อความคุ้มการเคลื่อนที่ของเรือ เปิด-ปิดวาล์วน้ำ และระดับน้ำ ชั่งปรับไห 3 ระดับ นอกจากนี้ได้เก็บข้อมูลการใช้พลังงานของเรื่องค่าน้ำที่ใช้ เครื่องยนต์ดีเซลเพื่อปรับเปลี่ยนกับการใช้มอเตอร์ไฟฟ้า ผลที่ได้คือ ปริมาณน้ำ (ลิตร/บาท) เวื่องค่าน้ำไฟฟ้าให้ปริมาณน้ำมากกว่าเครื่องยนต์ ทั้ง 2 ขนาด และเมื่อพิจารณาค่าใช้จ่ายต่อปี จากเงื่อนไขที่ เอาเด็พุต หรือปริมาณน้ำที่เท่ากัน เวื่องค่าน้ำไฟฟ้าเสียค่าพลังงานน้อยกว่าเกือบ 50% เมื่อเปรียบกับเวื่องค่าน้ำที่ใช้เครื่องยนต์ดีเซล

กิตติกรรมประกาศ

ขอขอบคุณ นายธีระพงษ์ แดงด้วง นายทวีศักดิ์ นุญประเสริฐ นักศึกษาภาควิชาวิศวกรรมไฟฟ้า มหาวิทยาลัยเทคโนโลยีราชมงคลชั้นนำ ที่ช่วยพัฒนาเรื่องค่าน้ำไฟฟ้าและทดสอบการทำงาน และกุลุ่ม เกษตรกรชุมชนคลอง 6 ที่ให้ข้อมูลและให้ทดสอบเรื่องค่าน้ำเครื่องยนต์ ดีเซล

เอกสารอ้างอิง

- [1] ประจิน พลงสันติฤทธิ์ “การเขียนโปรแกรมควบคุม ในโครงการโทรศัพท์ดิจิตอล dsPIC30F ด้วยคอมไฟล์ MPLAB C”, 2552
- [2] เมธี ทรัพย์สูงเนิน, กมลชัย จันทร์อุ่น, บุญเดิม แซ่ย়া “เรื่องค่าน้ำผักอัตโนมัติ”, สถาบันเทคโนโลยีพระจอมเกล้าฯ พระนครเหนือ 2548
- [3] วีร เชษฐ์ ขันเงิน และ ภูติพัฒนา ธรรมธิร เชษฐ์, “อิเล็กทรอนิกส์กำลัง” พิมพ์ครั้งที่ 2 ม.ว.จ. พรินติ้ง, 2547

ประวัติผู้เขียนบทความ



ธีระพล เหมือนขาว สำเร็จการศึกษาระดับ ปริญญาตรี วศ.บ.(ไฟฟ้ากำลัง) จาก มหาวิทยาลัยเทคโนโลยีราชมงคลชั้นนำ ประจำปี พ.ศ. 2554 วศ.ม.(ไฟฟ้ากำลัง) ประจำปี พ.ศ. 2555 สำเร็จการศึกษาสาขาวิชา วิศวกรรมไฟฟ้า คณะวิศวกรรมศาสตร์ ปัจจุบันดำรงตำแหน่งเป็นอาจารย์ประจำภาควิชา วิศวกรรมไฟฟ้า คณะวิศวกรรมศาสตร์มหาวิทยาลัยเทคโนโลยีราชมงคลชั้นนำ งานวิจัยด้านหุ่นยนต์ ระบบควบคุมแบบอัตโนมัติ ระบบป้องกันไฟฟ้ากำลัง